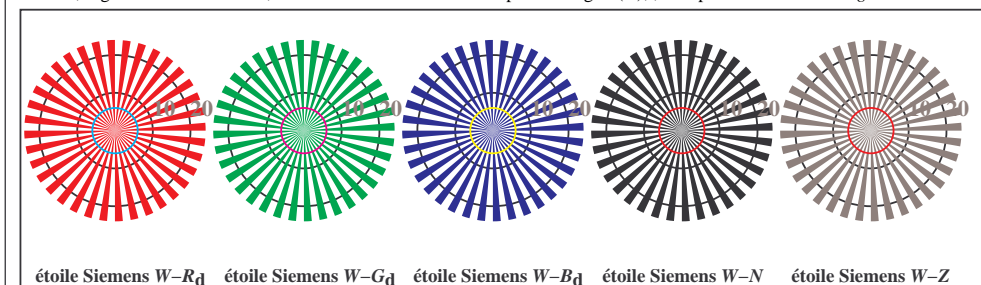
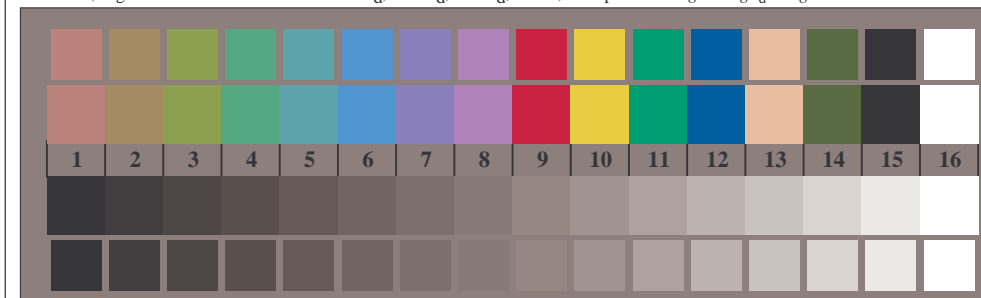




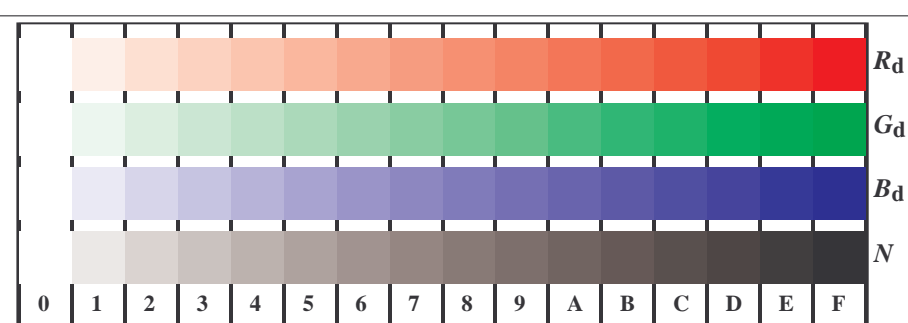
TF860-3, Fig. D1Wd: motif fleuri, 14 CIE test couleurs et 2 + 16 paliers de gris (sf); ; PS opérateur: 4 colorimage



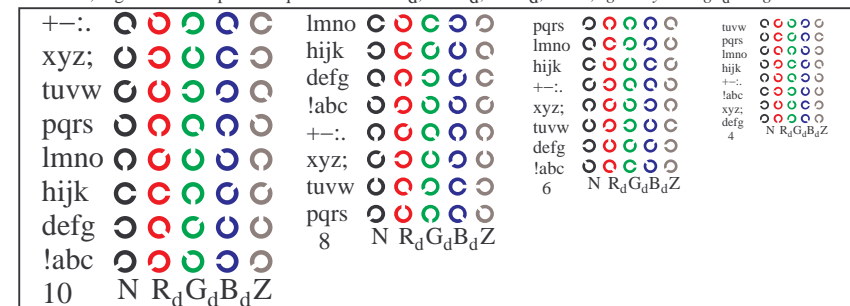
TF860-5, Fig. D2Wd: étoile de Siemsen $W-R_d$; $W-G_d$; $W-B_d$; $W-N$; PS opérateur: $rgb \rightarrow rgb_d$ setrgbcolor



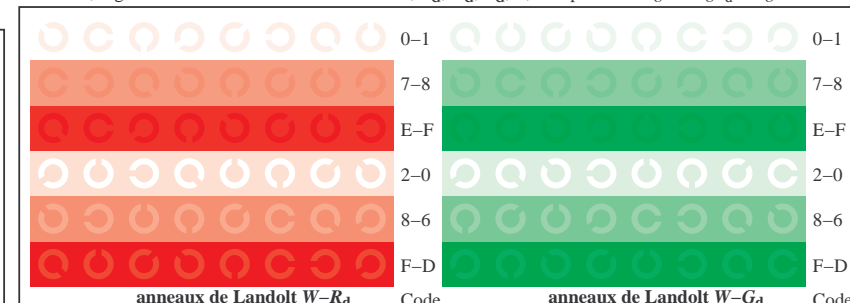
TF860-7, Fig. D3Wd: 14 CIE test couleurs et 2 + 16 paliers de gris (sf); PS opérateur: $rgb/cmy0 \rightarrow rgb_d$ setrgbcolor



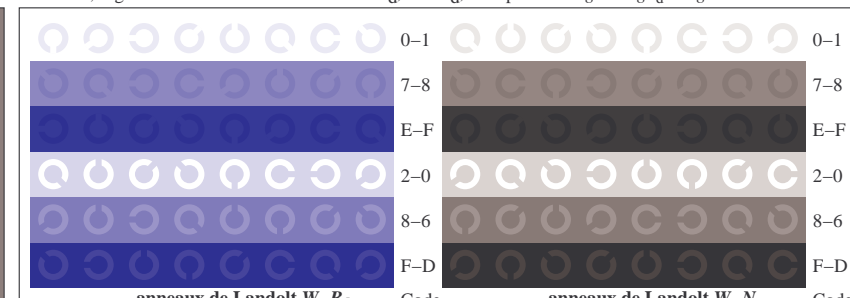
TF861-1, Fig. D4Wd: 16 paliers équidistants $W-R_d$; $W-G_d$; $W-B_d$; $W-N$; $rgb/cmy0 \rightarrow rgb_d$ setrgbcolor



TF861-3, Fig. D5Wd: code et anneau de Landolt N ; R_d ; G_d ; B_d ; Z ; PS opérateur: $rgb \rightarrow rgb_d$ setrgbcolor



TF861-5, Fig. D6Wd: anneaux de Landolt $W-R_d$; $W-G_d$; PS opérateur: $rgb \rightarrow rgb_d$ setrgbcolor



TF861-7, Fig. D7Wd: anneaux de Landolt $W-B_d$; $W-N$; PS opérateur: $rgb \rightarrow rgb_d$ setrgbcolor